

A mágnesezettség dinamikája nem-hermitikus rendszerekben

Szerző: Kiss Roberta Zsófia
Konzulens: Dr. Dóra Balázs

2021. október 29.

1. fejezet

Bevezető

A hermitikus operátorok fontos szerepet töltenek be a kvantummechanikában. Egy hermitikus Hamilton-operátorral rendelkező rendszer időfejlődése unitér, állapotainak normája időfüggetlen, nincs disszipáció. Az utóbbi évtizedben mégis különös figyelmet kapott a nem-hermitikus kvantumrendszerek időfejlődésének vizsgálata. Ez annak a következménye, hogy nem-hermitikus rendszerek esetén olyan érdekes jelenségeket figyelhetünk meg, amelyek hermitikus esetben nem jönnek létre. Ilyen például az egyirányú átlátszatlanság, a spontán paritás-idő szimmetriasértés, vagy királis tulajdonságok megjelenése.

A nem-hermitikus Hamilton-operátorok általában akkor lépnek be a fizikai leírásba, amikor egy alrendszert vizsgálunk. Az általánosan használt hermitikus leírás egy olyan idealizált rendszernek felel meg, ahol bizonyos szabadsági fokokat - például a disszipációt - nem veszünk figyelembe. Ilyenek az optikai komplex törésmutatók, valamint az elektronok, röntgensugarak vagy az atommagok szóródását leíró komplex potenciálok. Hagyományosan a nem-hermitikusságot perturbációnak tekintették, a fizika lényegében nem változott a hermitikus esethez képest, az exponenciális bomlástól eltekintve. De a nem-hermitikus fizika gyökeresen különbözik a hermitikus fizikától a sajátértékek összeolvadásában [1].

A Lindblad-egyenlet a környezetéhez csatolt rendszer viselkedésének leírására szolgál.

$$\frac{d\rho}{dt} = -i[H, \rho] + \sum_n (2L_n\rho L_n^\dagger - L_n^\dagger L_n\rho - \rho L_n^\dagger L_n) \quad (1.1)$$

Az (1.1) egyenletben ρ a rendszer sűrűségmátrixa, H a Hamilton-operátora, L_n pedig az alrendszer operátorai, amelyek a környezettel való csatolásért felelősek. Szemiklasszikus megközelítésben jól leírhatók a makroszkopikus

rendszerek, a szummában szereplő $L\rho L^\dagger$ tag elhanyagolásával. Ekkor a rendszer dinamikáját a következő egyenlet írja le:

$$\frac{d\rho}{dt} = -i(H_{eff}\rho - \rho H_{eff}^\dagger) \quad H_{eff} = H - i \sum_n L_n^\dagger L_n \quad (1.2)$$

A H_{eff} effektív Hamilton-operátor nem-hermitikus, az állapotok pedig relaxálnak, ahogyan egy disszipatív rendszertől várjuk.

1.1. Matematikai megközelítés

A nem-hermitikus Hamilton-operátor energiaspektrumának egy jellegzetessége a kivételes pont (exceptional point - EP), mely általában a paramétertől függő sajátérték-problémákban fordul elő. Az ilyen paraméterek változtatásával (általában a komplex síkban) általánosan megtalálhatók azok a pontok, ahol a sajátértékek egybeesnek.

Az EP közvetlen közelében a speciális algebrai viselkedés lehetővé teszi a teljes probléma redukálását a kapcsolódó kétdimenziós problémára a két egybeeső szinttel [2]. Ezért a továbbiakban egy kétdimenziós mátrix sajátértékeit tekinthetjük.

$$H(\lambda) = H_0 + \lambda V = \begin{pmatrix} \omega_1 & 0 \\ 0 & \omega_2 \end{pmatrix} + \lambda \begin{pmatrix} \epsilon_1 & \delta_1 \\ \delta_2 & \epsilon_2 \end{pmatrix} \quad (1.3)$$

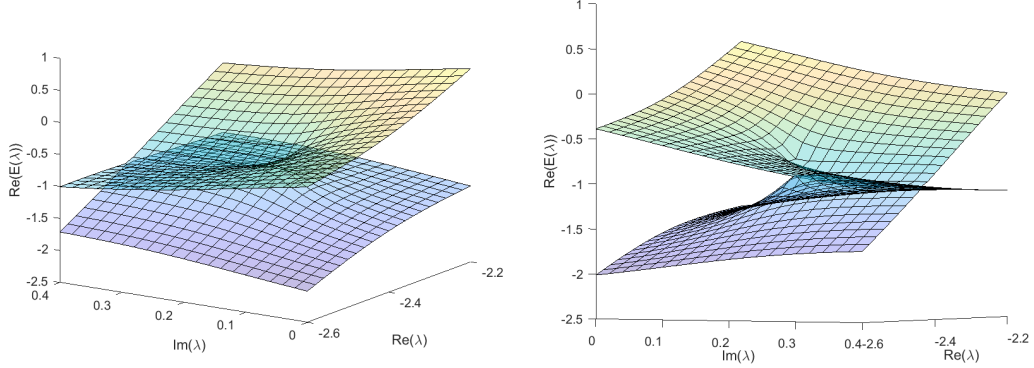
ahol ω_k és ϵ_k határozzák meg a nem-kölcsönható sajátenergiákat $E_k = \omega_k + \lambda\epsilon_k$, $k = 1, 2$. Választhatunk minden paramétert komplexnek, és $[H_0, V] \neq 0$, hogy a probléma ne legyen triviális. A δ_k mátrixelemek által kiváltott kölcsönhatás miatt a két szint nem keresztezi, hanem taszítja egymást. A két szint azonban egyes λ -értékeknél egybeolvad a szint-taszítás közelében, azaz a két kivételes pontnál.

$$\lambda_1 = \frac{-i(\omega_1 - \omega_2)}{i(\epsilon_1 - \epsilon_2) + 2\sqrt{\delta_1\delta_2}} \quad \lambda_2 = \frac{-i(\omega_1 - \omega_2)}{i(\epsilon_1 - \epsilon_2) - 2\sqrt{\delta_1\delta_2}} \quad (1.4)$$

Ha $\delta_{1,2} \neq 0$, akkor az energiaszinteknek négyzetgyökös szingularitása lesz $\lambda_{1,2}$ értékeknél.

$$E_{1,2}(\lambda) = \frac{1}{2} \left(\omega_1 + \omega_2 + \lambda(\epsilon_1 + \epsilon_2) \pm \sqrt{(\epsilon_1 - \epsilon_2)^2 + 4\delta_1\delta_2} \sqrt{(\lambda - \lambda_1)(\lambda - \lambda_2)} \right) \quad (1.5)$$

Ezt ábrázolva a komplex λ -síkon két egymással szembefordított Riemann-felület látható.



1.1. ábra. Az energiaspektrum valós része a komplex paraméterter függvényeként ábrázolva.

A sajátértékek a kivételes pontnál

$$E(\lambda_{1,2}) = \frac{\epsilon_1\omega_2 - \epsilon_2\omega_1 \mp i\sqrt{\delta_1\delta_2}(\omega_1 + \omega_2)}{\epsilon_1 - \epsilon_2 \mp 2i\sqrt{\delta_1\delta_2}} \quad (1.6)$$

A sajátértékek egybeolvadása más mint a hermitikus operátorok esetében észlelt degenerancia, mivel az egybeolvadt sajátértékekhez azonos sajátvektor fog tartozni, tehát az állapotok összeolvadnak. A nem-hermitikus operátorok jobb és bal oldali sajátvektorai különböznek, a két kivételes ponthoz tartozó sajátvektorok

$$|\phi_1\rangle = \begin{pmatrix} \frac{i\delta_1}{\sqrt{\delta_1\delta_2}} \\ 1 \end{pmatrix} \quad \langle\tilde{\phi}_1| = \begin{pmatrix} \frac{i\delta_2}{\sqrt{\delta_1\delta_2}} & 1 \end{pmatrix} \quad (1.7)$$

$$|\phi_2\rangle = \begin{pmatrix} \frac{-i\delta_1}{\sqrt{\delta_1\delta_2}} \\ 1 \end{pmatrix} \quad \langle\tilde{\phi}_2| = \begin{pmatrix} \frac{-i\delta_2}{\sqrt{\delta_1\delta_2}} & 1 \end{pmatrix} \quad (1.8)$$

A $\langle\tilde{\phi}_k|\phi_k\rangle$ norma eltűnik a kivételes pontban, ezt gyakran nevezik önortogonalitásnak. Az előbb említett tulajdonságok következtében $H(\lambda)$ nem diagonalizálható a kivételes pontban, a Jordan-féle normálalakban írható fel [3].

A (1.5) egyenletben szereplő négyzetgyökös szingularitásnak további fizikai következményei vannak, amelyekből néhányról a következő részekben írok. Ezelőtt megemlítem a legfőbb matematikai tulajdonságokat, amelyek az érdekes fizikai viselkedést okozhatják.

A kivételes pontot a λ -síkon megkerülve a két energiaszint felcserélődik. A kivételes pont közvetlen közelében a spektrum erős függést mutat a kölcsönhatási paramétertől, a kivételes pontban a sajátértékek λ -szerinti deriváltja végtelen. Amikor a sajátfüggvények a kivételes pontnál egybeolvadnak

$\delta_1 = \delta_2$ esetén paraméter-függetlenek lesznek, a két pont sajátfüggvényei között $\frac{\pi}{2}$ -es fáziskülönbség figyelhető meg, mely változhat, például időtükrözés szimmetriasértés esetén ($\delta_1 = \delta_2^*$) [4] [5].

1.2. Paritás-idő szimmetriasértés

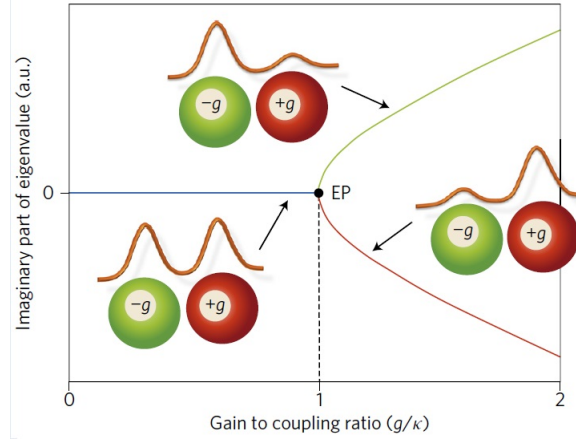
A nem-hermitikus Hamilton-operátorok egy egyedi osztályát 1998-ban fedezték fel, melyek a paritás és időtükrözés transzformáció (\mathcal{PT}) együttes művelete alatt szimmetrikusak. Ezen operátorok spektruma abban az esetben is valós, amikor az operátor nem-hermitikus. Hogyha a sajátállapotok szimmetrikusak a \mathcal{PT} transzformáció alatt ($\mathcal{PT}|\psi\rangle = \text{const}|\psi\rangle$), a hozzájuk tartozó sajátenergiák valósak. Amikor sérül a szimmetria az előző egyenlőség nem teljesül és a sajátértékek komplexszé válnak. A szimmetriasértés a rendszer kivételes pontjához tartozó paraméterértékeknél történik. A \mathcal{PT} -szimmetrikus rendszerekhez megmaradó mennyiségek rendelhetők, például ha a Hamilton-operátor szimmetrikus a paritás operátor egy megmaradó mennyiség lesz [6].

Ez a jelenség alacsony dimenziókban is észlelhető, így az egyszerűség kedvéért érdemes a következő két energiaszinttel rendelkező Hamilton-operátort tekinteni

$$H = \begin{pmatrix} \delta - ig & \kappa \\ \kappa & ig \end{pmatrix}, \quad H|\phi_{1,2}\rangle = E_{1,2}|\phi_{1,2}\rangle \quad (1.9)$$

ahol κ a csatolási konstans, δ a hangoló paraméter, g pedig a módusokhoz tartozó erősítés/csillapítás. Amikor $g = 0$, a sajátértékek valósak és az energia megmarad az időfejlődés során. Ha $g \neq 0$, a mátrix nem-hermitikus és a sajátértékek általánosan komplexek, a jobboldali sajátvektorok pedig nem ortogonálisak többé. Az energiaszinteket ábrázolva a $\kappa - \delta$ -síkon, a (1.1) grafikonhoz hasonló felületet kapunk. A kivételes pont ezen a síkon a $\delta = 0$, $\kappa = g$ paramétereknél található. Ez a Hamilton-operátor a teljesen behangolt ($\delta = 0$) esetben \mathcal{PT} -szimmetrikus. A spektrumot g/κ függvényében ábrázolva megfigyelhetjük a kivételes pontnál bekövetkező spontán szimmetriasértést. A $g/\kappa < 1$ tartományt \mathcal{PT} -egzakt fázisnak nevezik, melyben a sajátértékek $E_{1,2} = \pm\kappa \cos\theta$ ($\theta = \arcsin g/\kappa$) valósak és egyik módus sem tapasztal erősítést vagy csillapítást. A $g/\kappa > 1$ tartomány a \mathcal{PT} -sérült fázis, ahol a sajátenergiák a következőképpen írhatók $E_{1,2} = \pm i\kappa \sinh\theta$, ahol $\theta = \text{arcosh}g/\kappa$. Mindkét módus szimmetriája sérül, az egyik erősödést, a másik csillapítást érzékel. Az 1.2 ábrán látható, ahogy az egyik energiaszinten az egyik módus erősödik, a másik gyengül, a másik energiaszint esetén viszont a módusok szempontjából fordítva történik az erősítés/gyengítés. Ebben a \mathcal{PT} -sérült fázisban a Hamilton-operátor még mindig kommutál a \mathcal{PT}

operátorral, viszont nincs közös sajátfüggvény rendszerük. Ennek eredménye, hogy a sajátértékek megszűnnek valósak lenni, komplex konjugált párok váltják fel őket.



1.2. ábra. A sajátértékek képzetes része a nyereség/csatolás arány függvényében [7].

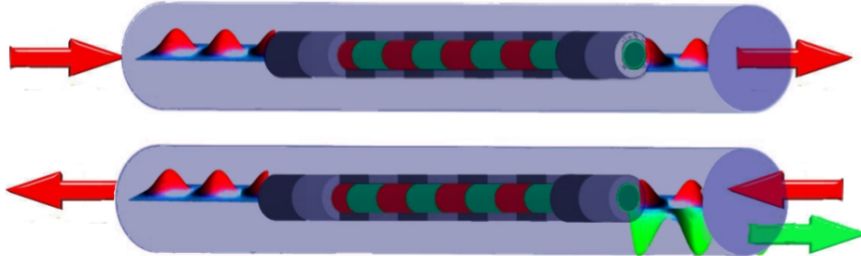
Egy Hamilton-operátor \mathcal{PT} -szimmetrikus, ha a komplex potenciálja teljesíti a $V(x, y) = V^*(-x, -y)$ relációt. Optikai rendszerekben a komplex törésmutatóknak kell hasonló összefüggést kielégítenie, hogy \mathcal{PT} -szimmetrikus legyen [7].

1.3. Egyirányú átlátszatlanság

Az optika termékeny talaj a \mathcal{PT} -szimmetrikus koncepciók vizsgálatához. Amint már említettem, az optikában a komplex törésmutató veszi át a komplex potenciál szerepét, mely ha teljesíti az $n(\mathbf{r}) = n^*(-\mathbf{r})$ összefüggést, \mathcal{PT} -szimmetrikus rendszert eredményez.

Az egyirányú átlátszatlanság bemutatásához érdemes egy egydimenziós rendszert tekinteni, mivel az egydimenziós periodikus struktúrák alkalmas felületet képeznek a \mathcal{PT} -szimmetrikus fény-transzport tanulmányozásához. Az (1.3) ábrán egy \mathcal{PT} -szimmetrikus Bragg-szóróközeg látható, melyben olyan periodikus struktúrát hoztak létre, amely a bal oldalról érkező fényre nincs hatással, viszont a jobb oldalról érkező fény visszaverődését felerősíti. Ennek létrehozásához egy \mathcal{PT} -szimmetrikus törésmutató eloszlással rendelkező periodikus optikai struktúrát alkalmaztak $n(z) = n_0 + n_1 \cos(2\beta z) + m_2 \sin(2\beta z)$ ahol $|z| < L/2$. n_0 a homogén anyag törésmutatója, melybe a rácsot ágyaz-

ták, n_1 a valós rész amplitudója, n_2 pedig a nyereség/veszteség periodikus disztribúciója.



1.3. ábra. A fény bal és jobboldali transzmissziója az egyirányból átlátszatlan 1D struktúrán [8].

Az elektromágneses térre felírva a Helmholtz-egyenletet

$$\frac{\partial^2 E(z)}{\partial z^2} + \frac{\omega^2}{c^2} n^2(z) E(z) = 0 \quad (1.10)$$

aztán a rácson kívüli tartományban előre és visszafelé terjedő hullámok amplitudójára felírva a transzfer-mátrixot, kifejezhető a rendszer transzmissziós és reflexiós tényezője. A transzfer-mátrix elemeinek segítségével felírható a szórás-mátrix. \mathcal{PT} -szimmetrikus rendszerekben a szórás-mátrix sajátértékei reciprokális párok vagy egyenlők. Utóbbi eset a \mathcal{PT} -egzakt fázis, előbbi pedig a \mathcal{PT} -sérült fázis. Ha $n_2 = 0$, akkor a törésmutató moduláció Bragg reflexióhoz vezet a Bragg-körfrekvenciához közeli frekvenciákon. A jobb és bal oldalról érkező hullámok reflexiós tényezője megegyezik, a Bragg-ponton a transzmisszió nulla, a reflexió pedig egy. Ezzel ellentétben ha $n_2 \neq 0$ a jobbról és balról érkező hullámok reflexiós tényezője között aszimmetria lép fel. Ez az aszimmetria $n_1 = n_2$ esetén a legerőteljesebb, ezen a ponton történik meg a spontán \mathcal{PT} -szimmetriasértés. Meglepő tény, hogy a Bragg-ponton a balról érkező hullám transzmissziója egy, míg a reflexiója nulla. Ugyanakkor a jobbról érkező hullám reflexiója négyzetesen nő a minta L méretével [8].

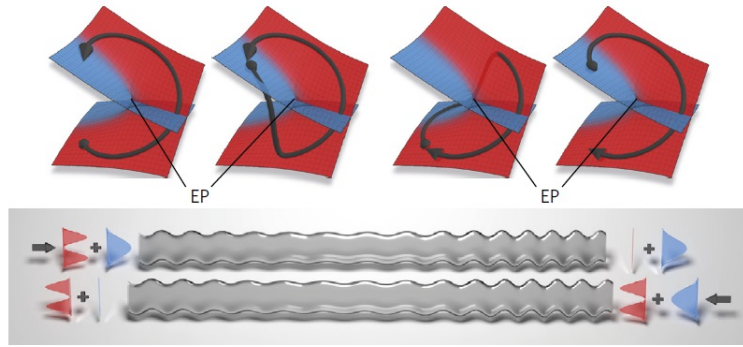
Az ilyen egyirányból átlátszatlan struktúrák alkalmasak lehetnek objektumok eltüntetésére szolgáló metaanyagok létrehozásához [9].

1.4. A kivételes pont megkerülése

Az egymást metsző Riemann felületek geometriájának következtében a kivételes pontok körül királis viselkedést figyelhetünk meg. Érdekes kérdés,

hogy mi történik, ha a paramétertérben megkerüljük a kivételes pontot egy zárt hurok mentén.

Az első elméleti megfontolások azt mutatták, hogy a kvázisztatikus tartományban egy megkerülés után a rendszer nem a saját állapotába, hanem a másik állapotba kerül. Későbbi kutatások kimutatták, hogy a kivételes pont előállításához szükséges nyereség-veszteség aszimmetria elrontja az adiabatikus fejlődést a kivételes pont körül [10] [11]. Azonban dinamikus képben, további nem-adiabatikus átalakulások mennek végbe, amelyek királis viselkedést mutatnak. Eszerint a rendszer végállapotát egyedül a kivételes pont megkerülésének iránya határozza meg. Ezeket a predikciókat kísérletekkel igazolták, a mikrohullámú tartományban [12] és optomechanikában [13].

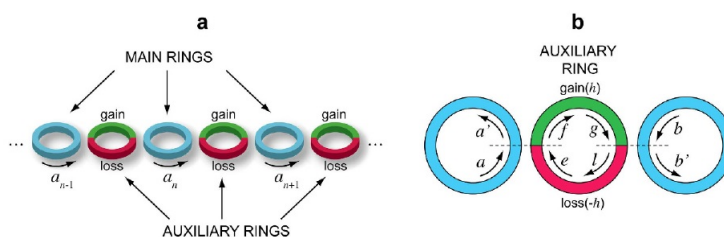


1.4. ábra. A kivételes pont különböző irányú megkerülésével a rendszer végállapota független a kiindulási állapottól. Mikrohullám terjedése a deformált fém hullámvezetőn [12].

Az (1.4a) ábrán látható a kivételes pont pozitív forgásirányból történő megkerülése egy $g - \delta$ paramétersíkon. A megkerülés után a kezdeti állapottól függetlenül a kék végállapotba kerül a rendszer. A (1.4b) ábrán az óramutató járásával megegyező irányban kerüljük meg a kivételes pontot és a végállapot a piros lesz. A (1.4c) ábrán a mikrohullámú kísérlet sematikus rajza látható. A folyamat megfigyeléséhez a Hamilton-operátort egy deformált, fém hullámvezetőn történő mikrohullám transzmisszióba képezték. A hullámvezető határait harmonikusan modulálták és belső veszteségeket is kialakítottak. Kiválasztottak egy megfelelő bemeneti frekvenciát, ezzel a problémát két tovaterjedő módusra redukálták. A Helmholtz-egyenlet megoldásán a Floquet-Bloch ansatzot alkalmazva egy Schrödinger-típusú egyenletet kaptak a módusok lassan változó amplitúdóira a kívánt Hamilton-operátorral. Eredményképp a bal oldalról érkező hullám a kezdeti állapottól függetlenül a kékkel jelölt állapotba fog kerülni, a jobbról érkező pedig a pirossal jelöltbe.

1.5. Képzetes mágneses tér megvalósítása

A képzetes mágneses teret CROW-elrendezésben (Coupled Resonator Optical Waveguide) lehet megvalósítani.



1.5. ábra. CROW struktúra a képzetes mágneses tér megvalósításához [14].

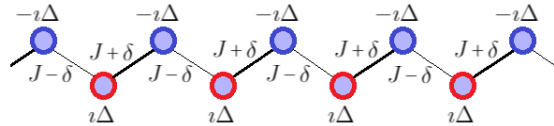
Az microring rezonátorok egydimenziós elrendezés az (1.5) ábrán látható. A kékkel jelölt gyűrűk a főrezonátorok, melyek kiegészítő gyűrűkkel vannak egymáshoz csatolva. Ezek a kiegészítőgyűrűk antirezonánsra vannak tervezve, az átmérőjük épp annyival nagyobb vagy kisebb, hogy egy extra π fázistolást szenvedjenek el. Ennek következtében a kiegészítő gyűrűk felső félkerületén erősítés (zöld), az alsón pedig gyengítés (piros) fog létrejönni [14].

2. fejezet

Mágnesezettség dinamikája egy egydimenziós rendszerben

2.1. A Su-Schrieffer-Heeger (SSH) modell

Az egydimenziós SSH modellt a poliacetilén struktúrájának leírására alkalmazzák [15]. A modellben egy elemi cella két atomot tartalmaz, csak az elsőszomszéd kölcsönhatást tekintve, az elemi cellán belüli kölcsönhatás erőssége különbözik a két elemi cella között fellépő kölcsönhatás erősségétől. Különböző atomok esetén ehhez társulhat egy periodikus potenciál, ha ez képzetes és megfelelő nagyságú, akkor a sajátenergia értékek képzetessé válhatnak és a rendszer időfejlődése nem lesz hermitikus.



2.1. ábra. Az SSH modell sematikus ábrája.

A rendszer Hamilton-operátora a következőképpen írható másodkvantált formalizmusban

$$H_{SSH} = \int dp \begin{pmatrix} a^\dagger(p) & b^\dagger(p) \end{pmatrix} \begin{pmatrix} -i\Delta & (J + \delta)e^{-ipd} + J - \delta \\ (J + \delta)e^{ipd} + J - \delta & i\Delta \end{pmatrix} \begin{pmatrix} a(p) \\ b(p) \end{pmatrix} \quad (2.1)$$

A sajátenergiák

$$E_{\pm}(p) = \pm\sqrt{2(J^2 + \delta^2 + (J^2 - \delta^2) \cos pd) - \Delta^2} \quad (2.2)$$

Ha a periodikus potenciál valós és minden atom között egyenlő a kölcsönhatás erőssége ($\delta = 0$), továbbá a Fermi-energia körül sorbafejtjük a diszperziós relációt, az alábbi értéket kapjuk:

$$E_{\pm}(p) = \pm\sqrt{(Jpd)^2 + \Delta^2} \quad (2.3)$$

A hozzátartozó Hamilton-operátor

$$H = (Jpd)\sigma_x + \Delta\sigma_z \quad (2.4)$$

ahol σ_x és σ_z a Pauli-mátrixok.

Ez az operátor hermitikus, és az általam használt H_0 Hamilton-operátor megfeleltethető ennek. A továbbiakban legyen $v = Jd$ a sebesség.

$$H_0 = \begin{pmatrix} 0 & pv - i\Delta \\ pv + i\Delta & 0 \end{pmatrix} \quad (2.5)$$

$$E_{\pm} = \pm\sqrt{(pv)^2 + \Delta^2} \quad (2.6)$$

A sajátenergiák hasonló alakúak mint a (2.3) egyenletben, a ψ_0 alapállapot a $-\sqrt{(pv)^2 + \Delta^2}$ energiához tartozó sajátállapot.

$$\psi_0 = \frac{1}{\sqrt{2}} \begin{pmatrix} -\frac{pv - i\Delta}{\sqrt{(pv)^2 + \Delta^2}} \\ 1 \end{pmatrix} \quad (2.7)$$

A továbbiakban ezt a rendszert vizsgáltam két különböző esetben. Először azt, milyen irányú mágnesezettség alakul ki, ha $t = 0$ -ban valós mágneses teret kapcsolunk be x , y és z irányokban, majd ugyanezt képzetes tér esetén.

2.2. Hermitikus eset

2.2.1. x -irányú tér

Amikor bekapcsolunk egy x -irányú valós mágneses teret, H_0 a következőképpen módosul

$$H_1 = H_0 - B\sigma_x = \begin{pmatrix} 0 & pv - B - i\Delta \\ pv - B + i\Delta & 0 \end{pmatrix} \quad (2.8)$$

A ψ_0 alapállapot időfejlődése a H_1 Hamilton-operátor szerint fog történni, ezért a $\langle \sigma_x \rangle$ várhatóértéket a következőképpen kaphatjuk meg

$$\psi_0^\dagger e^{iH_1 t} \sigma_x e^{-iH_1 t} \psi_0 = -\frac{pv(pv - B)^2 + \Delta^2(pv - 2B(\sin t \sqrt{(pv - B)^2 + \Delta^2})^2)}{\sqrt{(pv)^2 + \Delta^2}((pv - B)^2 + \Delta^2)} \quad (2.9)$$

Ez egy adott p hullámszámra vonatkozik, a teljes eredményhez integrálnunk kell p szerint. Ez azonban analitikusan nem lenne kivitelezhető, így a továbbiakban a mágnesez teret kicsinek tekintem. Ha B kicsi, $\langle \sigma \rangle(p)$ -t közelíthetjük elsőrendben B szerint.

$$\psi_0^\dagger e^{iH_1 t} \sigma_x e^{-iH_1 t} \psi_0 \approx -\frac{pv}{\sqrt{(pv)^2 + \Delta^2}} + \frac{2\Delta^2(\sin t \sqrt{(pv)^2 + \Delta^2})^2}{((pv)^2 + \Delta^2)^{3/2}} B \quad (2.10)$$

$$\psi_0^\dagger e^{iH_1 t} \sigma_y e^{-iH_1 t} \psi_0 \approx -\frac{\Delta}{\sqrt{(pv)^2 + \Delta^2}} - \frac{2\Delta pv(\sin t \sqrt{(pv)^2 + \Delta^2})^2}{((pv)^2 + \Delta^2)^{3/2}} B \quad (2.11)$$

$$\psi_0^\dagger e^{iH_1 t} \sigma_z e^{-iH_1 t} \psi_0 \approx \frac{\Delta \sin 2t \sqrt{(pv)^2 + \Delta^2}}{(pv)^2 + \Delta^2} B \quad (2.12)$$

A p szerinti integrálást a Maple szoftver segítségével végeztem el, a mennyiségeket Δ egységekben tekintve. Az integrálhoz alkalmazott helyettesítés a függelékben található.

A mágnesezettség különböző irányú komponenseinek időfüggése Δ egységekben

$$\langle \sigma_x \rangle(t) = \frac{\pi B}{v} \text{MeijerG} \left(\left([1], \left[\frac{3}{2} \right] \right), \left([1, 1], \left[\frac{1}{2}, 0 \right] \right), t^2 \right) \quad (2.13)$$

$$\langle \sigma_y \rangle(t) = 0 \quad (2.14)$$

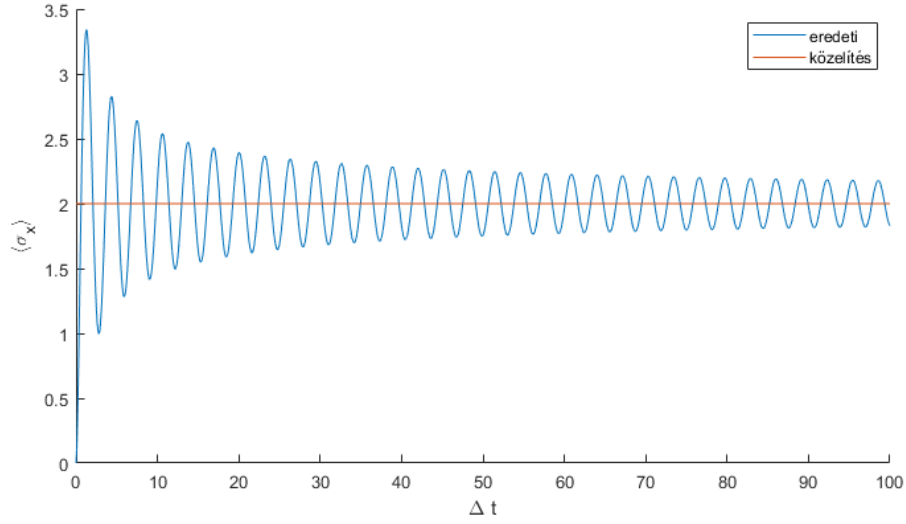
$$\langle \sigma_z \rangle(t) = \frac{\pi t^2 B}{v} \text{MeijerG} \left(\left([], [0] \right), \left(\left[-\frac{1}{2}, -\frac{1}{2} \right], [-1] \right), t^2 \right) \quad (2.15)$$

Megvizsgáltam a sok idő elteltével kialakult mágnesezettséget. A $\langle \sigma_x \rangle$ várható érték esetén $\sin^2 t \approx \frac{1}{2}$, $\langle \sigma_z \rangle$ esetén pedig a nyeregpontri közelítést alkalmaztam. Ha $t \rightarrow \infty$ akkor $\langle \sigma_z \rangle \rightarrow 0$.

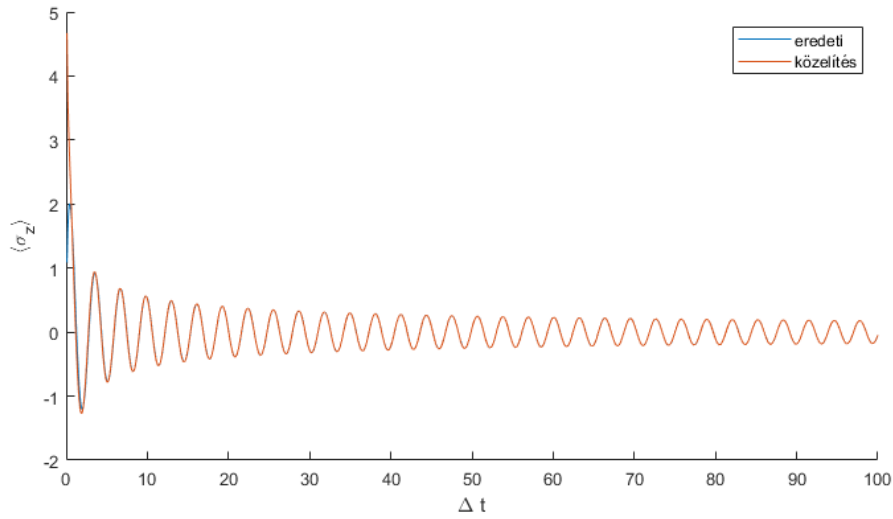
$$\langle \sigma_x \rangle(t) = \frac{2B}{v} \quad (2.16)$$

$$\langle \sigma_y \rangle(t) = 0 \quad (2.17)$$

$$\langle \sigma_z \rangle(t) = \frac{B}{\Delta v} \sqrt{\frac{\pi \Delta}{t}} \sin \left(2\Delta t + \frac{\pi}{4} \right) \quad (2.18)$$



2.2. ábra. Az x -irányú mágnesezettség az idő függvényében. $B = \Delta = v = 1$



2.3. ábra. A z -irányú mágnesezettség az idő függvényében. $B = \Delta = v = 1$

2.2.2. y -irányú tér

A számításokat az x irányhoz hasonlóan végeztem. A továbbiakban $\langle \sigma \rangle(p)$ B szerint első rendben közelített alakját jelenítem meg.

$$H_2 = H_0 - B\sigma_y = \begin{pmatrix} 0 & pv + \imath B - \imath \Delta \\ pv - \imath B + \imath \Delta & 0 \end{pmatrix} \quad (2.19)$$

$$\psi_0^\dagger e^{iH_2^\dagger t} \sigma_x e^{-iH_2 t} \psi_0 \approx -\frac{pv}{\sqrt{(pv)^2 + \Delta^2}} + \frac{2\Delta pv (\sin t \sqrt{(pv)^2 + \Delta^2})^2}{((pv)^2 + \Delta^2)^{3/2}} B \quad (2.20)$$

$$\psi_0^\dagger e^{iH_2^\dagger t} \sigma_y e^{-iH_2 t} \psi_0 \approx -\frac{\Delta}{\sqrt{(pv)^2 + \Delta^2}} + \frac{2(pv)^2 (\sin t \sqrt{(pv)^2 + \Delta^2})^2}{((pv)^2 + \Delta^2)^{3/2}} B \quad (2.21)$$

$$\psi_0^\dagger e^{iH_2^\dagger t} \sigma_z e^{-iH_2 t} \psi_0 \approx -\frac{pv \sin 2t \sqrt{(pv)^2 + \Delta^2}}{(pv)^2 + \Delta^2} B \quad (2.22)$$

A mágnesezettség időfüggése Δ egységeken:

$$\langle \sigma_x \rangle(t) = 0 \quad (2.23)$$

$$\langle \sigma_z \rangle(t) = 0 \quad (2.24)$$

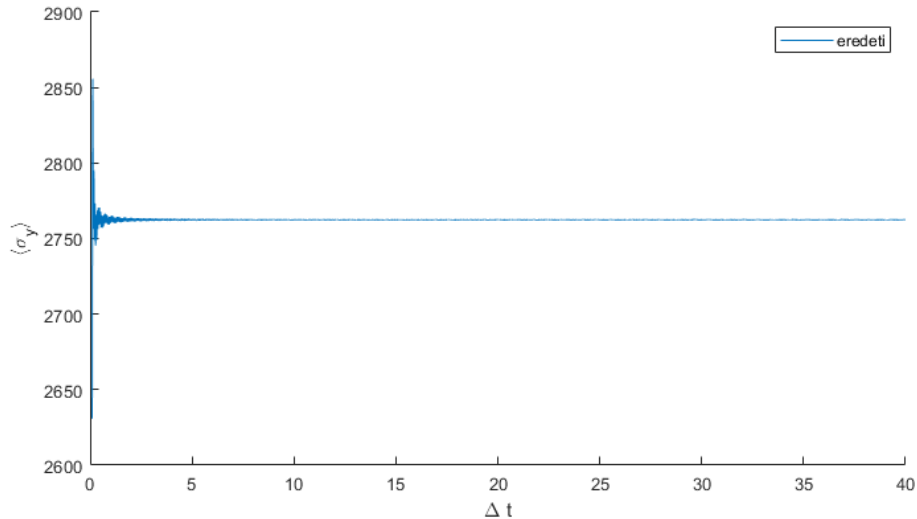
Az eredményt y irányban nem kaptam meg analitikusan, ehelyett p szerint numerikusan integráltam $-W < pv < W$ tartományban és ezt ábrázoltam $W/\Delta = 100$ esetén a (2.4) grafikonon.

$t \rightarrow \infty$ esetén az integrál elvégzéséhez szimmetrikus levágást (W/v) alkalmaztam p -ben. A (2.26) várható érték $W \gg \Delta$ limeszben van feltüntetve.

$$\langle \sigma_x \rangle(t) = 0 \quad (2.25)$$

$$\langle \sigma_y \rangle(t) = \frac{2B}{v} \left(\ln \left(\frac{2W}{\Delta} \right) - 1 \right) \quad (2.26)$$

$$\langle \sigma_z \rangle(t) = 0 \quad (2.27)$$



2.4. ábra. Az y -irányú mágnesezettség az idő függvényében. $B = \Delta = v = 1$

2.2.3. z -irányú tér

A számításokat szintén az x irányhoz hasonlóan végeztem.

$$H_3 = H_0 - B\sigma_z = \begin{pmatrix} -B & pv - \imath\Delta \\ pv + \imath\Delta & B \end{pmatrix} \quad (2.28)$$

$$\psi_0^\dagger e^{\imath H_3^\dagger t} \sigma_x e^{-\imath H_3 t} \psi_0 \approx -\frac{pv}{\sqrt{(pv)^2 + \Delta^2}} - \frac{\Delta \sin 2t \sqrt{(pv)^2 + \Delta^2}}{(pv)^2 + \Delta^2} B \quad (2.29)$$

$$\psi_0^\dagger e^{\imath H_3^\dagger t} \sigma_y e^{-\imath H_3 t} \psi_0 \approx -\frac{\Delta}{\sqrt{(pv)^2 + \Delta^2}} + \frac{pv \sin 2t \sqrt{(pv)^2 + \Delta^2}}{(pv)^2 + \Delta^2} B \quad (2.30)$$

$$\psi_0^\dagger e^{\imath H_3^\dagger t} \sigma_z e^{-\imath H_3 t} \psi_0 \approx \frac{2(\sin t \sqrt{(pv)^2 + \Delta^2})^2}{\sqrt{(pv)^2 + \Delta^2}} B \quad (2.31)$$

A mágnesezettség időfüggése Δ egységekben:

$$\langle \sigma_x \rangle(t) = -\frac{\pi t^2 B}{v} \text{MeijerG} \left(\left[\left[\left[\right], [0] \right], \left[\left[-\frac{1}{2}, -\frac{1}{2} \right], [-1] \right] \right], t^2 \right) \quad (2.32)$$

$$\langle \sigma_y \rangle(t) = 0 \quad (2.33)$$

$$(2.34)$$

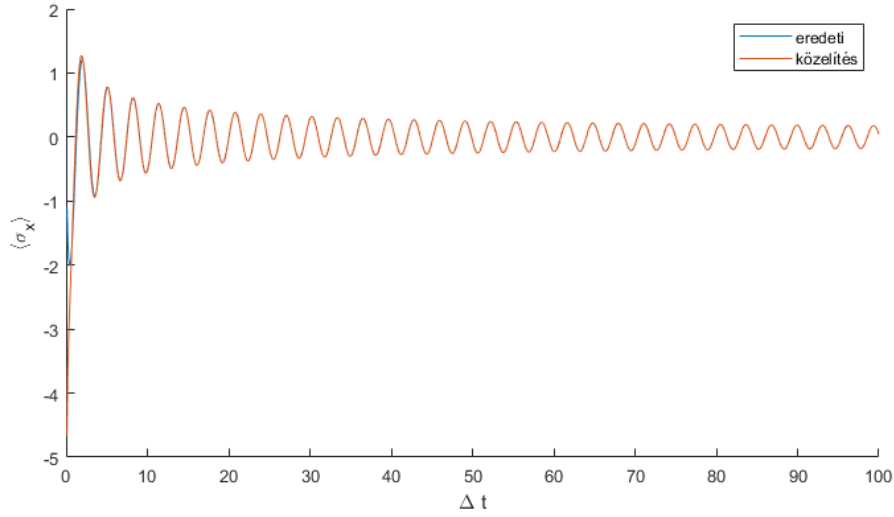
Az eredményt z irányban nem kaptam meg analitikusan, ehelyett p szerint numerikusan integráltam $-W < pv < W$ tartományban és ezt ábrázoltam $W/\Delta = 100$ esetén a (2.6) grafikonon.

$t \rightarrow \infty$ esetén nyeregponti közelítést (2.35) és p -ben szimmetrikus levágást (W/v) (2.37) alkalmaztam. Utóbbi várható értéket $W \gg \Delta$ limeszben írtam fel.

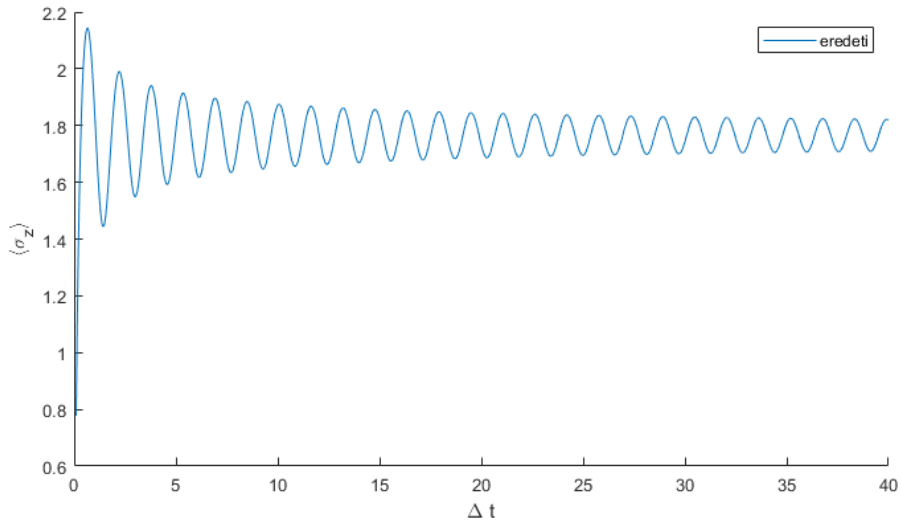
$$\langle \sigma_x \rangle(t) = -\frac{B}{\Delta v} \sqrt{\frac{\pi \Delta}{t}} \sin \left(2\Delta t + \frac{\pi}{4} \right) \quad (2.35)$$

$$\langle \sigma_y \rangle(t) = 0 \quad (2.36)$$

$$\langle \sigma_z \rangle(t) = \frac{2B}{v} \ln \left(\frac{2W}{\Delta} \right) \quad (2.37)$$



2.5. ábra. Az x -irányú mágnesezettség az idő függvényében. $B = \Delta = v = 1$



2.6. ábra. A z -irányú mágnesezettség az idő függvényében. $B = \Delta = v = 1$

2.3. Nem-hermitikus eset

A H_0 Hamilton-operátorhoz iB mágneses teret adva az operátor nem-hermitikussá válik. Ekkor az állapotok időfejlődése nem unitér, felléphet csillapítás vagy erősítés, így a várható érték kiszámításához le kell osztani

az időfüggő normával. A sorfejtést a normálás után végeztem el B -ben első rendig. Ezután a lépés után a többi számítást a 2.2 részhez hasonlóan végeztem.

2.3.1. x -irányú tér

A rendszer Hamilton-operátora a következőképp írható

$$H_4 = H_0 - \imath B \sigma_x = \begin{pmatrix} 0 & pv - \imath B - \imath \Delta \\ pv - \imath B + \imath \Delta & 0 \end{pmatrix} \quad (2.38)$$

A p -függő várható értékeket a normálás után sorba fejtettem az alkalmazott mágneses tér nagysága szerint. Ehhez a művelethez a Maple szoftvert használtam.

$$\frac{\psi_0^\dagger e^{\imath H_4^\dagger t} \sigma_x e^{-\imath H_4 t} \psi_0}{\psi_0^\dagger e^{\imath H_4^\dagger t} e^{-\imath H_4 t} \psi_0} \approx -\frac{pv}{\sqrt{(pv)^2 + \Delta^2}} + \frac{\Delta^2 \sin 2t \sqrt{(pv)^2 + \Delta^2}}{((pv)^2 + \Delta^2)^{3/2}} B \quad (2.39)$$

$$\frac{\psi_0^\dagger e^{\imath H_4^\dagger t} \sigma_y e^{-\imath H_4 t} \psi_0}{\psi_0^\dagger e^{\imath H_4^\dagger t} e^{-\imath H_4 t} \psi_0} \approx -\frac{\Delta}{\sqrt{(pv)^2 + \Delta^2}} + \frac{\Delta pv \sin 2t \sqrt{(pv)^2 + \Delta^2}}{((pv)^2 + \Delta^2)^{3/2}} B \quad (2.40)$$

$$\frac{\psi_0^\dagger e^{\imath H_4^\dagger t} \sigma_z e^{-\imath H_4 t} \psi_0}{\psi_0^\dagger e^{\imath H_4^\dagger t} e^{-\imath H_4 t} \psi_0} \approx \frac{2\Delta (\sin t \sqrt{(pv)^2 + \Delta^2})^2}{(pv)^2 + \Delta^2} B \quad (2.41)$$

A p szerinti integrálást szintén a Maple szoftverrel végeztem, Δ egységekben.

$$\langle \sigma_x \rangle(t) = \frac{\pi B t^2}{v} \left(\frac{2}{t} - \frac{2J_1(2t)}{t} - 4J_0(2t) + 2\pi J_0(2t)H_1(2t) - J_1(2t)H_0(2t) \right) \quad (2.42)$$

$$\langle \sigma_y \rangle(t) = 0 \quad (2.43)$$

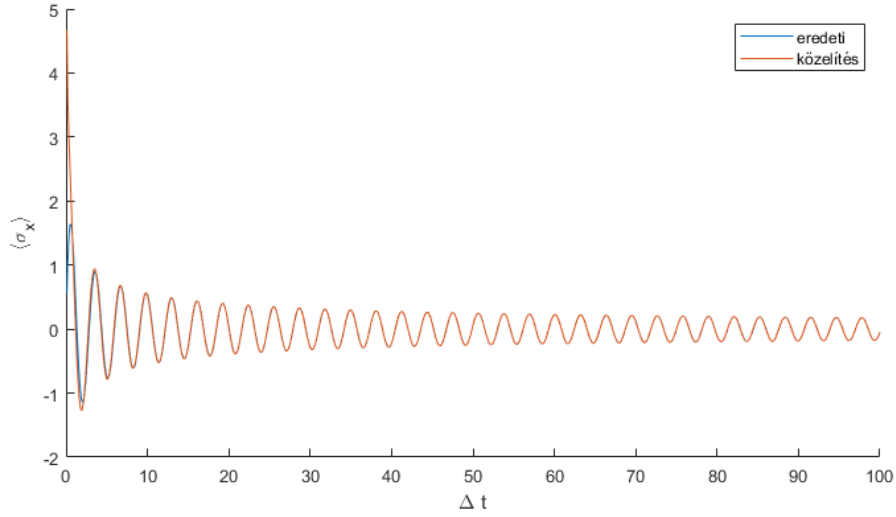
$$\langle \sigma_z \rangle(t) = \frac{\pi B t}{v} (2J_0(2t) - \pi(J_0(2t)H_1(2t) - J_1(2t)H_0(2t))) \quad (2.44)$$

$t \rightarrow \infty$ esetén a hermitikus számolásokhoz hasonló közelítéseket alkalmaztam.

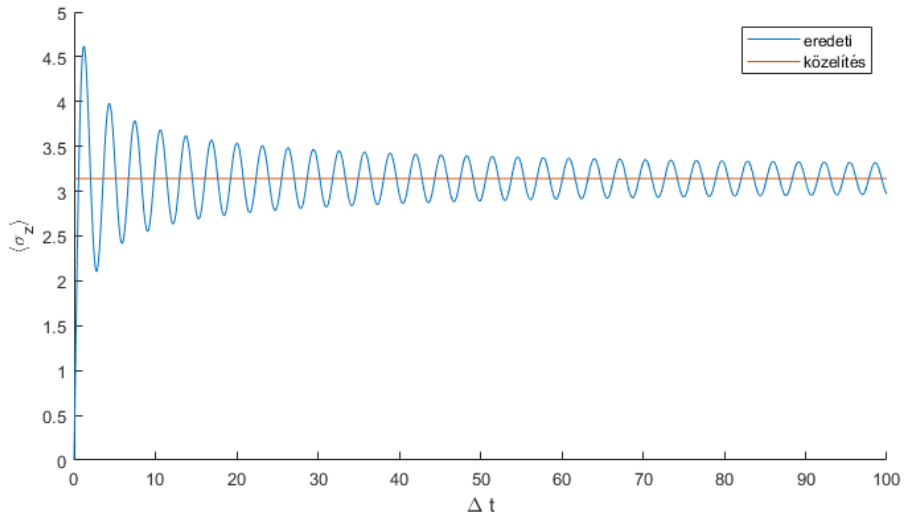
$$\langle \sigma_x \rangle(t) = \frac{B}{\Delta v} \sqrt{\frac{\pi \Delta}{t}} \sin \left(2\Delta t + \frac{\pi}{4} \right) \quad (2.45)$$

$$\langle \sigma_y \rangle(t) = 0 \quad (2.46)$$

$$\langle \sigma_z \rangle(t) = \frac{\pi B}{v} \quad (2.47)$$



2.7. ábra. Az x -irányú mágneszettség az idő függvényében. $B = \Delta = v = 1$



2.8. ábra. A z -irányú mágneszettség az idő függvényében. $B = \Delta = v = 1$

2.3.2. y -irányú tér

Az időfejlődést leíró Hamilton-operátor a következő

$$H_5 = H_0 - \imath B \sigma_y = \begin{pmatrix} 0 & pv - B - \imath \Delta \\ pv + B + \imath \Delta & 0 \end{pmatrix} \quad (2.48)$$

Az x -irányhoz hasonlóan leosztottam a normafaktorokkal, majd elvégeztem a B szerinti elsőrendű közelítést. Ehhez a Maple szoftvert használtam.

$$\frac{\psi_0^\dagger e^{iH_5^\dagger t} \sigma_x e^{-iH_5 t} \psi_0}{\psi_0^\dagger e^{iH_5^\dagger t} e^{-iH_5 t} \psi_0} \approx -\frac{pv}{\sqrt{(pv)^2 + \Delta^2}} + \frac{\Delta pv \sin 2t \sqrt{(pv)^2 + \Delta^2}}{((pv)^2 + \Delta^2)^{3/2}} B \quad (2.49)$$

$$\frac{\psi_0^\dagger e^{iH_5^\dagger t} \sigma_y e^{-iH_5 t} \psi_0}{\psi_0^\dagger e^{iH_5^\dagger t} e^{-iH_5 t} \psi_0} \approx -\frac{\Delta}{\sqrt{(pv)^2 + \Delta^2}} - \frac{(pv)^2 \sin 2t \sqrt{(pv)^2 + \Delta^2}}{((pv)^2 + \Delta^2)^{3/2}} B \quad (2.50)$$

$$\frac{\psi_0^\dagger e^{iH_5^\dagger t} \sigma_z e^{-iH_5 t} \psi_0}{\psi_0^\dagger e^{iH_5^\dagger t} e^{-iH_5 t} \psi_0} \approx -\frac{2pv(\sin t \sqrt{(pv)^2 + \Delta^2})^2}{(pv)^2 + \Delta^2} B \quad (2.51)$$

A várható értékekhez a p -szerinti integrált itt is Maple-lel végeztem el, melyből a következő eredményt kaptam

$$\langle \sigma_x \rangle(t) = 0 \quad (2.52)$$

$$\langle \sigma_y \rangle(t) = \frac{-\pi B t}{2v} \left(\frac{2(4t^2 + 1)J_0(2t)}{t} - 4J_1(2t) - 4\pi t (J_0(2t)H_1(2t) - J_1(2t)H_0(2t)) - 4 \right) \quad (2.53)$$

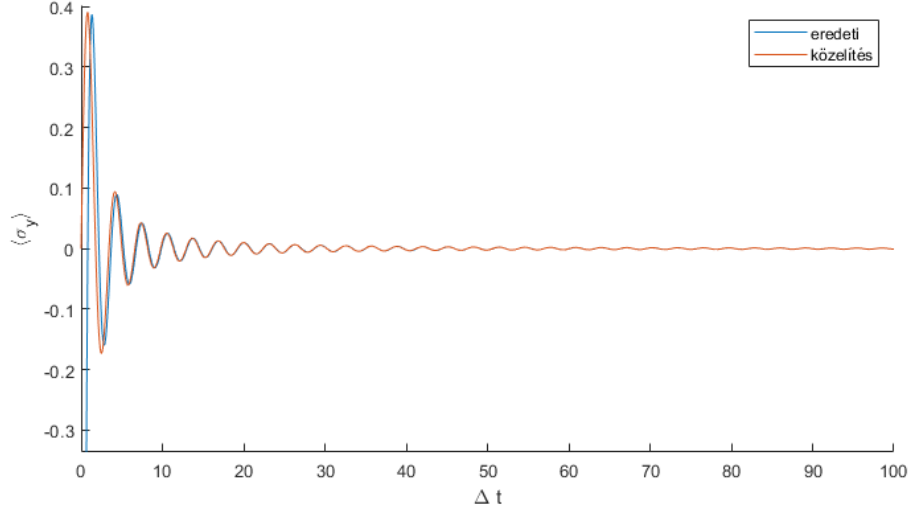
$$\langle \sigma_z \rangle(t) = 0 \quad (2.54)$$

$t \rightarrow \infty$ esetén (2.53)-hoz tartozó p -szerinti integrálra alkalmaztam a nyereg-ponti közelítést.

$$\langle \sigma_x \rangle(t) = 0 \quad (2.55)$$

$$\langle \sigma_y \rangle(t) = -\frac{\sqrt{\pi} \Delta^{3/2} B}{2v \left(\frac{3}{2\Delta} \right)^2 + t^2)^{3/4}} e^{-3 \ln \Delta} \sin \left(2\Delta t - \frac{\text{atan}\left(\frac{2\Delta t}{3}\right)}{2} + \pi \right) \quad (2.56)$$

$$\langle \sigma_z \rangle(t) = 0 \quad (2.57)$$



2.9. ábra. Az y -irányú mágnesezettség az idő függvényében. $B = \Delta = v = 1$

2.3.3. z -irányú tér

A z -irányú képzetes mágneses tér bekapcsolása után létrejött időfejlődést leíró Hamilton-operátor

$$H_6 = H_0 - \imath B \sigma_z = \begin{pmatrix} -\imath B & pv - \imath \Delta \\ pv + \imath \Delta & \imath B \end{pmatrix} \quad (2.58)$$

A további számításokhoz szintén a Maple szoftvert használtam.

$$\frac{\psi_0^\dagger e^{\imath H_6^\dagger t} \sigma_x e^{-\imath H_6 t} \psi_0}{\psi_0^\dagger e^{\imath H_6^\dagger t} e^{-\imath H_6 t} \psi_0} \approx -\frac{pv}{\sqrt{(pv)^2 + \Delta^2}} - \frac{2\Delta(\sin t \sqrt{(pv)^2 + \Delta^2})^2}{(pv)^2 + \Delta^2} B \quad (2.59)$$

$$\frac{\psi_0^\dagger e^{\imath H_6^\dagger t} \sigma_y e^{-\imath H_6 t} \psi_0}{\psi_0^\dagger e^{\imath H_6^\dagger t} e^{-\imath H_6 t} \psi_0} \approx -\frac{\Delta}{\sqrt{(pv)^2 + \Delta^2}} + \frac{2pv(\sin t \sqrt{(pv)^2 + \Delta^2})^2}{(pv)^2 + \Delta^2} B \quad (2.60)$$

$$\frac{\psi_0^\dagger e^{\imath H_6^\dagger t} \sigma_z e^{-\imath H_6 t} \psi_0}{\psi_0^\dagger e^{\imath H_6^\dagger t} e^{-\imath H_6 t} \psi_0} \approx -\frac{\sin 2t \sqrt{(pv)^2 + \Delta^2}}{\sqrt{(pv)^2 + \Delta^2}} B \quad (2.61)$$

A kialakult időfüggő mágnesezettség komponensek

$$\langle \sigma_x \rangle(t) = \frac{-\pi B t}{v} (2J_0(2t) - \pi(J_0(2t)H_1(2t) - J_1(2t)H_0(2t))) \quad (2.62)$$

$$\langle \sigma_y \rangle(t) = 0 \quad (2.63)$$

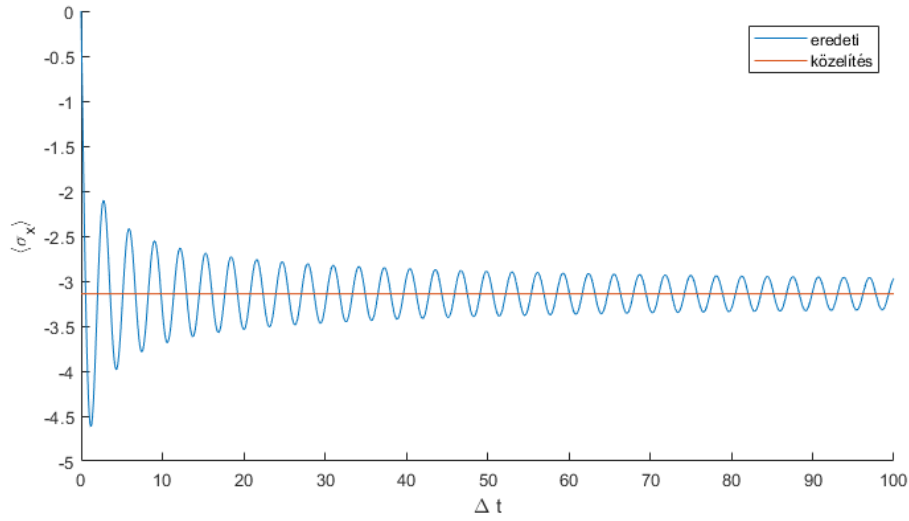
$$\langle \sigma_z \rangle(t) = \frac{-B\pi}{v} J_0(2t) \quad (2.64)$$

$t \rightarrow \infty$ esetén hasonló módszereket alkalmaztam a várható értékek közelítésére, mint a 2.3.1 részben.

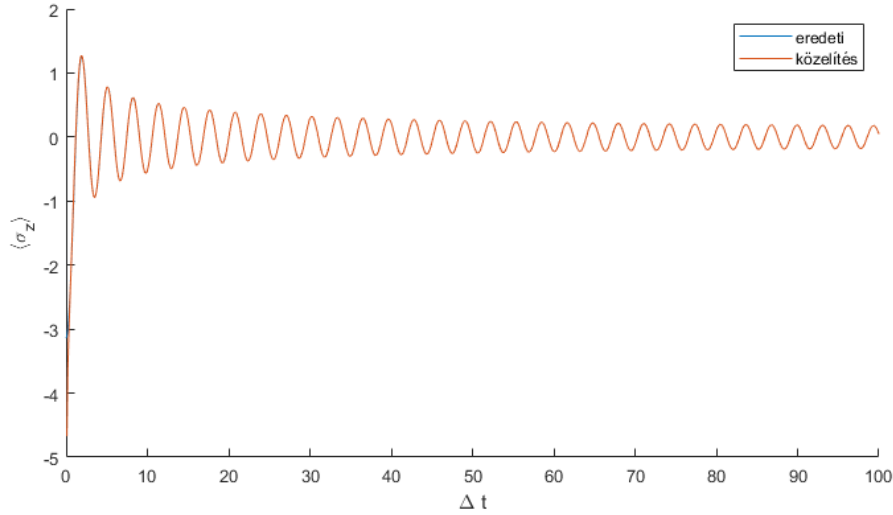
$$\langle \sigma_x \rangle(t) = -\frac{\pi B}{v} \quad (2.65)$$

$$\langle \sigma_y \rangle(t) = 0 \quad (2.66)$$

$$\langle \sigma_z \rangle(t) = -\frac{B}{\Delta v} \sqrt{\frac{\pi \Delta}{t}} \sin\left(2\Delta t + \frac{\pi}{4}\right) \quad (2.67)$$



2.10. ábra. Az x -irányú mágnesezettség az idő függvényében. $B = \Delta = v = 1$



2.11. ábra. A z -irányú mágnesezettség az idő függvényében. $B = \Delta = v = 1$

2.4. Összegzés

A hermitikus és nem-hermitikus esetek összehasonlításához a sok idő elteltével kialakult mágnesezettségeket az alábbi táblázatba foglaltam.

	$B\sigma_x$	$B\sigma_y$	$B\sigma_z$	$\imath B\sigma_x$	$\imath B\sigma_y$	$\imath B\sigma_z$
x	$\frac{2B}{v}$	0	0	0	0	$-\frac{\pi B}{v}$
y	0	$\frac{2B}{v} \left(\ln \left(\frac{2W}{\Delta} \right) - 1 \right)$	0	0	0	0
z	0	0	$\frac{2B}{v} \ln \left(\frac{2W}{\Delta} \right)$	$\frac{\pi B}{v}$	0	0

2.1. táblázat. A kialakult mágnesezettség komponensei különböző irányú valós és képzetes mágneses tér esetén.

Hermitikus esetben azt figyelhetjük meg, hogy az alkalmazott mágneses tér irányával párhuzamosan alakul ki valamekkora mágnesezettség. x -irányú tér esetén csak B -től, a mágneses tér nagyságától, és v -től, a hangsebességtől függ. y és z irány esetén olyan tagok is szerepelnek, melyek logaritmikusan divergálnak a levágás (W/v) növelésével.

Ezzel ellentétben a nem-hermitikus esetben x -irányú tér alkalmazásakor a kialakult mágnesezettség z -irányú lesz, z -irányú térnél pedig x -irányú. Ha a képzetes mágneses tér y -irányba orientált, sok idő elteltével az összes komponens lecseng. A kialakult mágnesezettségek csak B -től és v -től függenek.

A valós és képzetes mágneses terek alkalmazása között különbség figyelhető meg a rendszer mágnesezettségét tekintve. A valós tér esetén észlelt viselkedés magyarázható azzal a képpel, hogy a spinek a mágneses térrel párhuzamos irányba rendeződnek. A nem-hermitikus eset ennél érdekesebb, ott arról lehet szó, hogy az eredeti állapot fenntartásához szükséges folyamat marad meg az időben. Ebben az esetben pumpáljuk a rendszert, de ahelyett, hogy a pumpálásban megjelenő operátor várható értéke lenne véges, a pumpált állapotok között átmenetet létrehozó operátor várható értéke lesz nullától különböző. Ez analógiába hozható azzal, hogyha valahol töltést pumpálunk a rendszerbe, vagy megnő a sűrűség a pumpálás helyén, vagy olyan véges áramok jelennek meg a rendszerben, amelyek elszállítják a bepumpált töltést, de a töltéssűrűség nem változik.

Irodalomjegyzék

- [1] M. V. Berry, „Physics of nonhermitian degeneracies,” *Czechoslovak journal of physics*, vol. 54, no. 10, pp. 1039–1047, 2004.
- [2] W. Heiss and W.-H. Steeb, „Avoided level crossings and riemann sheet structure,” *Journal of mathematical physics*, vol. 32, no. 11, pp. 3003–3007, 1991.
- [3] T. Kato, „Analytic perturbation theory,” in *Perturbation theory for linear operators*, pp. 364–426, Springer, 1966.
- [4] H. Harney and W. Heiss, „Time reversal and exceptional points,” *The European Physical Journal D-Atomic, Molecular, Optical and Plasma Physics*, vol. 29, no. 3, pp. 429–432, 2004.
- [5] W. Heiss, „The physics of exceptional points,” *Journal of Physics A: Mathematical and Theoretical*, vol. 45, no. 44, p. 444016, 2012.
- [6] Z. Bian, L. Xiao, K. Wang, X. Zhan, F. A. Onanga, F. Ruzicka, W. Yi, Y. N. Joglekar, and P. Xue, „Conserved quantities in parity-time symmetric systems,” *Physical Review Research*, vol. 2, no. 2, p. 022039, 2020.
- [7] R. El-Ganainy, K. G. Makris, M. Khajavikhan, Z. H. Musslimani, S. Rotter, and D. N. Christodoulides, „Non-hermitian physics and pt symmetry,” *Nature Physics*, vol. 14, no. 1, pp. 11–19, 2018.
- [8] Z. Lin, H. Ramezani, T. Eichelkraut, T. Kottos, H. Cao, and D. N. Christodoulides, „Unidirectional invisibility induced by p t-symmetric periodic structures,” *Physical Review Letters*, vol. 106, no. 21, p. 213901, 2011.
- [9] X. Zhu, L. Feng, P. Zhang, X. Yin, and X. Zhang, „One-way invisible cloak using parity-time symmetric transformation optics,” *Optics letters*, vol. 38, no. 15, pp. 2821–2824, 2013.

- [10] T. J. Milburn, J. Doppler, C. A. Holmes, S. Portolan, S. Rotter, and P. Rabl, „General description of quasiadiabatic dynamical phenomena near exceptional points,” *Physical Review A*, vol. 92, no. 5, p. 052124, 2015.
- [11] R. Uzdin, A. Mailybaev, and N. Moiseyev, „On the observability and asymmetry of adiabatic state flips generated by exceptional points,” *Journal of Physics A: Mathematical and Theoretical*, vol. 44, no. 43, p. 435302, 2011.
- [12] J. Doppler, A. A. Mailybaev, J. Böhm, U. Kuhl, A. Girschik, F. Libisch, T. J. Milburn, P. Rabl, N. Moiseyev, and S. Rotter, „Dynamically encircling an exceptional point for asymmetric mode switching,” *Nature*, vol. 537, no. 7618, pp. 76–79, 2016.
- [13] H. Xu, D. Mason, L. Jiang, and J. Harris, „Topological energy transfer in an optomechanical system with exceptional points,” *Nature*, vol. 537, no. 7618, pp. 80–83, 2016.
- [14] S. Longhi, D. Gatti, and G. Della Valle, „Robust light transport in non-hermitian photonic lattices,” *Scientific reports*, vol. 5, no. 1, pp. 1–12, 2015.
- [15] W. Su, J. Schrieffer, and A. J. Heeger, „Solitons in polyacetylene,” *Physical review letters*, vol. 42, no. 25, p. 1698, 1979.

A. függelék

Számítások részletei

A.1. Hermitikus eset

A.1.1. x -irányú tér

A p -szerinti integrál elvégzéséhez alkalmazott helyettesítések.

$$\begin{aligned} \int_{-\infty}^{\infty} \frac{v \sin(t\sqrt{(pv)^2 + \Delta^2})^2}{((pv)^2 + \Delta^2)^{3/2}} dp &= \int_1^{\infty} \frac{\sin(tx)^2}{x^2\sqrt{x^2 - 1}} dx \\ &= \frac{\pi}{4} \text{MeijerG} \left(\left[[1], \left[\frac{3}{2} \right] \right], \left[[1, 1], \left[\frac{1}{2}, 0 \right] \right], t^2 \right) \end{aligned} \quad (\text{A.1})$$

$$\begin{aligned} \int_{-\infty}^{\infty} \frac{v \sin(2t\sqrt{(pv)^2 + \Delta^2})}{(pv)^2 + \Delta^2} dp &= \int_1^{\infty} \frac{\sin(2tx)}{x\sqrt{x^2 - 1}} dx \\ &= \frac{\pi t^2}{2} \text{MeijerG} \left(\left[[], [0] \right], \left[\left[-\frac{1}{2}, -\frac{1}{2} \right], [-1] \right], t^2 \right) \end{aligned} \quad (\text{A.2})$$

Fourier-transzformációt végeztem a p -függő mágnesezettség két nem nulla komponensén.

$$\begin{aligned}
& \frac{1}{\sqrt{2\pi}} \int_0^\infty \frac{\sin(t\sqrt{(pv)^2 + \Delta^2})^2}{((pv)^2 + \Delta^2)^{\frac{3}{2}}} e^{-i\omega t} dt = \\
& \frac{i}{4\sqrt{2\pi} ((pv)^2 + \Delta^2)^{\frac{3}{2}}} \left(\mathbb{P} \left(\frac{1}{\omega - 2\sqrt{(pv)^2 + \Delta^2}} + \frac{1}{\omega + 2\sqrt{(pv)^2 + \Delta^2}} - \frac{2}{\omega} \right) \right. \\
& \left. + i\pi \left(\delta(\omega - 2\sqrt{(pv)^2 + \Delta^2}) + \delta(\omega + 2\sqrt{(pv)^2 + \Delta^2}) - 2\delta(\omega) \right) \right) = \\
& \frac{i}{4\sqrt{2\pi} ((pv)^2 + \Delta^2)^{\frac{3}{2}}} \left(\mathbb{P} \left(\frac{1}{\omega - 2\sqrt{(pv)^2 + \Delta^2}} + \frac{1}{\omega + 2\sqrt{(pv)^2 + \Delta^2}} - \frac{2}{\omega} \right) \right. \\
& \left. + i\pi \left(\frac{\delta \left(p - \frac{1}{v} \sqrt{\frac{\omega^2}{4} - \Delta^2} \right)}{2 \left| v \sqrt{1 - \frac{4\Delta^2}{\omega^2}} \right|} + \frac{\delta \left(p + \frac{1}{v} \sqrt{\frac{\omega^2}{4} - \Delta^2} \right)}{2 \left| v \sqrt{1 - \frac{4\Delta^2}{\omega^2}} \right|} - 2\delta(\omega) \right) \right) \quad (\text{A.3})
\end{aligned}$$

$$\begin{aligned}
& \frac{1}{\sqrt{2\pi}} \int_0^\infty \frac{\sin(2t\sqrt{(pv)^2 + \Delta^2})}{(pv)^2 + \Delta^2} e^{-i\omega t} dt = \\
& \frac{1}{2\sqrt{2\pi} ((pv)^2 + \Delta^2)} \left(\mathbb{P} \left(\frac{1}{2\sqrt{(pv)^2 + \Delta^2} + \omega} + \frac{1}{2\sqrt{(pv)^2 + \Delta^2} - \omega} \right) \right. \\
& \left. - i\pi \text{sgn}(\omega) \left(\frac{\delta \left(p - \frac{1}{v} \sqrt{\frac{\omega^2}{4} - \Delta^2} \right)}{2 \left| v \sqrt{1 - \frac{4\Delta^2}{\omega^2}} \right|} + \frac{\delta \left(p + \frac{1}{v} \sqrt{\frac{\omega^2}{4} - \Delta^2} \right)}{2 \left| v \sqrt{1 - \frac{4\Delta^2}{\omega^2}} \right|} \right) \right) \quad (\text{A.4})
\end{aligned}$$

A két megmaradó komponens $t \rightarrow 0$ határesetben:

$$\begin{aligned}
& \frac{\sin(t\sqrt{(pv)^2 + \Delta^2})^2}{((pv)^2 + \Delta^2)^{3/2}} \approx \frac{t^2}{\sqrt{(pv)^2 + \Delta^2}} \\
& \int_{-C}^C \frac{t^2}{\sqrt{(pv)^2 + \Delta^2}} dp = \ln \frac{\sqrt{(Cv)^2 + \Delta^2} + Cv \frac{t^2}{v}}{\sqrt{(Cv)^2 + \Delta^2} - Cv \frac{t^2}{v}} \quad (\text{A.5})
\end{aligned}$$

$$\begin{aligned}
& \frac{\sin(2t\sqrt{(pv)^2 + \Delta^2})}{(pv)^2 + \Delta^2} \approx \frac{2t}{\sqrt{(pv)^2 + \Delta^2}} \\
& \int_{-C}^C \frac{2t}{\sqrt{(pv)^2 + \Delta^2}} dp = \ln \frac{\sqrt{(Cv)^2 + \Delta^2} + Cv \frac{2t}{v}}{\sqrt{(Cv)^2 + \Delta^2} - Cv \frac{2t}{v}} \quad (\text{A.6})
\end{aligned}$$

A két megmaradó komponens $t \rightarrow \infty$ határesetben:

$$\int_{-C}^C \frac{1}{2((pv)^2 + \Delta^2)^{\frac{3}{2}}} dp = \frac{C}{\sqrt{(Cv)^2 + \Delta^2} \Delta^2}$$

$$\lim_{C \rightarrow \infty} \frac{1}{\sqrt{v^2 + \frac{\Delta^2}{C^2} \Delta^2}} = \frac{1}{v \Delta^2} \quad (\text{A.7})$$

$$\begin{aligned} \int_{-\infty}^{\infty} \frac{\sin(2t\sqrt{(pv)^2 + \Delta^2})}{(pv)^2 + \Delta^2} dp &= \int_{-\infty}^{\infty} \frac{e^{i2t\sqrt{(pv)^2 + \Delta^2}} - e^{-i2t\sqrt{(pv)^2 + \Delta^2}}}{2i((pv)^2 + \Delta^2)} dp \\ &= \int_{-\infty}^{\infty} \frac{1}{2i\Delta^2} \left(e^{i2t(\Delta + \frac{(pv)^2}{2\Delta})} - e^{-i2t(\Delta + \frac{(pv)^2}{2\Delta})} \right) dp \\ &= \frac{1}{2i\Delta^2 v} \left(\sqrt{\frac{\pi\Delta}{-it}} e^{i2t\Delta} - \sqrt{\frac{\pi\Delta}{it}} e^{-i2t\Delta} \right) \\ &= \frac{1}{\Delta^2 v} \sqrt{\frac{\pi\Delta}{t}} \sin\left(2t\Delta + \frac{\pi}{4}\right) \end{aligned} \quad (\text{A.8})$$

A.1.2. z -irányú tér

A mágnesezettség x komponensének p -szerinti integráljának elvégzéséhez használt helyettesítés.

$$\int_1^{\infty} \frac{\sin(2tx)}{x\sqrt{x^2 - 1}} dx = \frac{\pi t^2}{2} \text{MeijerG}\left(\left[\left[\right], [0]\right], \left[\left[-\frac{1}{2}, -\frac{1}{2}\right], [-1]\right], t^2\right) \quad (\text{A.9})$$

A.2. Nem-hermitikus eset

A.2.1. x -irányú tér

Az x -irányú spinek várható értéke, normálás nélkül.

$$\begin{aligned}
\psi_0^\dagger e^{\imath H_4^\dagger t} \sigma_x e^{-\imath H_4 t} \psi_0 = & \\
& \frac{-pv}{\sqrt{(pv)^2 + \Delta^2}} \cos t \sqrt{(pv - \imath B)^2 + \Delta^2} \cos t \sqrt{(pv + \imath B)^2 + \Delta^2} \\
& + \frac{\imath(pv + \imath B)}{\sqrt{(pv + \imath B)^2 + \Delta^2}} \cos t \sqrt{(pv - \imath B)^2 + \Delta^2} \sin t \sqrt{(pv + \imath B)^2 + \Delta^2} \\
& + \frac{-\imath(pv - \imath B)}{\sqrt{(pv - \imath B)^2 + \Delta^2}} \sin t \sqrt{(pv - \imath B)^2 + \Delta^2} \cos t \sqrt{(pv + \imath B)^2 + \Delta^2} \\
& - \frac{pv((pv)^2 + B^2 + \Delta^2)}{\sqrt{(pv)^2 + \Delta^2} \sqrt{(pv - \imath B)^2 + \Delta^2} \sqrt{(pv + \imath B)^2 + \Delta^2}} \sin t \sqrt{(pv - \imath B)^2 + \Delta^2} \\
& \times \sin t \sqrt{(pv + \imath B)^2 + \Delta^2} \tag{A.10}
\end{aligned}$$

A normafaktor időfüggése.

$$\begin{aligned}
\psi_0^\dagger e^{\imath H_4^\dagger t} e^{-\imath H_4 t} \psi_0 = & \\
& \cos t \sqrt{(pv - \imath B)^2 + \Delta^2} \cos t \sqrt{(pv + \imath B)^2 + \Delta^2} \\
& - \frac{\imath((pv)^2 + \imath Bpv + \Delta^2)}{\sqrt{(pv + \imath B)^2 + \Delta^2} \sqrt{(pv)^2 + \Delta^2}} \cos t \sqrt{(pv - \imath B)^2 + \Delta^2} \\
& \times \sin t \sqrt{(pv + \imath B)^2 + \Delta^2} \\
& + \frac{\imath((pv)^2 - \imath Bpv + \Delta^2)}{\sqrt{(pv - \imath B)^2 + \Delta^2} \sqrt{(pv)^2 + \Delta^2}} \sin t \sqrt{(pv - \imath B)^2 + \Delta^2} \\
& \times \cos t \sqrt{(pv + \imath B)^2 + \Delta^2} \\
& + \frac{(pv)^2 + B^2 + \Delta^2}{\sqrt{(pv - \imath B)^2 + \Delta^2} \sqrt{(pv + \imath B)^2 + \Delta^2}} \sin t \sqrt{(pv - \imath B)^2 + \Delta^2} \\
& \times \sin t \sqrt{(pv + \imath B)^2 + \Delta^2} \tag{A.11}
\end{aligned}$$

A p -szerinti integrálok elvégzéséhez használt helyettesítések.

$$\int_1^\infty \frac{\sin(2tx)}{x^2\sqrt{x^2-1}}dx = \frac{t^2\pi}{2} \left(\frac{2}{t} - \frac{2J_1(2t)}{t} - 4J_0(2t) + 2\pi J_0(2t)H_1(2t) - J_1(2t)H_0(2t) \right) \quad (\text{A.12})$$

$$\int_1^\infty \frac{\sin(tx)^2}{x\sqrt{x^2-1}}dx = \frac{\pi t}{4} (2J_0(2t) - \pi(J_0(2t)H_1(2t) - J_1(2t)H_0(2t))) \quad (\text{A.13})$$

Fourier-transzformációt végeztem a p -függő mágnesezettség két nem nulla komponensén.

$$\begin{aligned} & \frac{1}{\sqrt{2\pi}} \int_0^\infty \frac{\sin(2t\sqrt{(pv)^2 + \Delta^2})}{((pv)^2 + \Delta^2)^{\frac{3}{2}}} e^{-i\omega t} dt = \\ & \frac{1}{2\sqrt{2\pi} ((pv)^2 + \Delta^2)^{\frac{3}{2}}} \left(\mathbb{P} \left(\frac{1}{2\sqrt{(pv)^2 + \Delta^2} + \omega} + \frac{1}{2\sqrt{(pv)^2 + \Delta^2} - \omega} \right) \right. \\ & \left. - i\pi \operatorname{sgn}(\omega) \left(\frac{\delta \left(p - \frac{1}{v} \sqrt{\frac{\omega^2}{4} - \Delta^2} \right)}{2 \left| v \sqrt{1 - \frac{4\Delta^2}{\omega^2}} \right|} + \frac{\delta \left(p + \frac{1}{v} \sqrt{\frac{\omega^2}{4} - \Delta^2} \right)}{2 \left| v \sqrt{1 - \frac{4\Delta^2}{\omega^2}} \right|} \right) \right) \quad (\text{A.14}) \end{aligned}$$

$$\begin{aligned} & \frac{1}{\sqrt{2\pi}} \int_0^\infty \frac{\sin(t\sqrt{(pv)^2 + \Delta^2})^2}{(pv)^2 + \Delta^2} e^{-i\omega t} dt = \\ & \frac{i}{4\sqrt{2\pi} ((pv)^2 + \Delta^2)} \left(\mathbb{P} \left(\frac{1}{\omega - 2\sqrt{(pv)^2 + \Delta^2}} + \frac{1}{\omega + 2\sqrt{(pv)^2 + \Delta^2}} - \frac{2}{\omega} \right) \right. \\ & \left. + i\pi \left(\delta(\omega - 2\sqrt{(pv)^2 + \Delta^2}) + \delta(\omega + 2\sqrt{(pv)^2 + \Delta^2}) - 2\delta(\omega) \right) = \right. \\ & \frac{i}{4\sqrt{2\pi} ((pv)^2 + \Delta^2)} \left(\mathbb{P} \left(\frac{1}{\omega - 2\sqrt{(pv)^2 + \Delta^2}} + \frac{1}{\omega + 2\sqrt{(pv)^2 + \Delta^2}} - \frac{2}{\omega} \right) \right. \\ & \left. + i\pi \left(\frac{\delta \left(p - \frac{1}{v} \sqrt{\frac{\omega^2}{4} - \Delta^2} \right)}{2 \left| v \sqrt{1 - \frac{4\Delta^2}{\omega^2}} \right|} + \frac{\delta \left(p + \frac{1}{v} \sqrt{\frac{\omega^2}{4} - \Delta^2} \right)}{2 \left| v \sqrt{1 - \frac{4\Delta^2}{\omega^2}} \right|} - 2\delta(\omega) \right) \right) \quad (\text{A.15}) \end{aligned}$$

A két megmaradó komponens $t \rightarrow 0$ határesetben:

$$\begin{aligned} \frac{\sin(2t\sqrt{(pv)^2 + \Delta^2})}{((pv)^2 + \Delta^2)^{3/2}} &\approx \frac{2t}{(pv)^2 + \Delta^2} \\ \int_{-C}^C \frac{2t}{(pv)^2 + \Delta^2} dp &= \frac{4 \arctan(Cv/\Delta)}{\Delta v} t \end{aligned} \quad (\text{A.16})$$

$$\begin{aligned} \frac{\sin(t\sqrt{(pv)^2 + \Delta^2})^2}{(pv)^2 + \Delta^2} &\approx t^2 \\ \int_{-C}^C t^2 dp &= 2Ct^2 \end{aligned} \quad (\text{A.17})$$

A két megmaradó komponens $t \rightarrow \infty$ határesetben:

$$\begin{aligned} \int_{-\infty}^{\infty} \frac{\sin(2t\sqrt{(pv)^2 + \Delta^2})}{((pv)^2 + \Delta^2)^{3/2}} dp &= \int_{-\infty}^{\infty} \frac{e^{i2t\sqrt{(pv)^2 + \Delta^2}} - e^{-i2t\sqrt{(pv)^2 + \Delta^2}}}{2i((pv)^2 + \Delta^2)^{3/2}} dp \\ &= \int_{-\infty}^{\infty} \frac{1}{2i\Delta^3} \left(e^{i2t(\Delta + \frac{(pv)^2}{2\Delta})} - e^{-i2t(\Delta + \frac{(pv)^2}{2\Delta})} \right) dp \\ &= \frac{1}{2i\Delta^3 v} \left(\sqrt{\frac{\pi\Delta}{-it}} e^{i2t\Delta} - \sqrt{\frac{\pi\Delta}{it}} e^{-i2t\Delta} \right) \\ &= \frac{1}{\Delta^3 v} \sqrt{\frac{\pi\Delta}{t}} \sin\left(2t\Delta + \frac{\pi}{4}\right) \end{aligned} \quad (\text{A.18})$$

$$\begin{aligned} \int_{-C}^C \frac{1}{2((pv)^2 + \Delta^2)} dp &= \frac{\arctan(Cv/\Delta)}{\Delta v} \\ \lim_{C \rightarrow \infty} \frac{\arctan(Cv/\Delta)}{\Delta v} &= \frac{\pi}{2\Delta v} \end{aligned} \quad (\text{A.19})$$

A.2.2. y -irányú tér

A mágnesezettség y komponensének p -szerinti integráljának elvégzéséhez használt helyettesítés.

$$\begin{aligned} \int_1^{\infty} \frac{\sin(2tx)\sqrt{x^2 - 1}}{x^2} dx &= \\ \frac{t\pi}{4} \left(\frac{2(4t^2 + 1)J_0(2t)}{t} - 4J_1(2t) - 4\pi t (J_0(2t)H_1(2t) - J_1(2t)H_0(2t)) - 4 \right) \end{aligned} \quad (\text{A.20})$$

A.2.3. z -irányú tér

A mágnesezettség két nemnulla komponensének p -szerinti integráljához használt helyettesítések.

$$\int_1^\infty \frac{\sin(tx)^2}{x\sqrt{x^2-1}} dx = \frac{\pi t}{4} (2J_0(2t) - \pi(J_0(2t)H_1(2t) - J_1(2t)H_0(2t))) \quad (\text{A.21})$$

$$\int_1^\infty \frac{\sin(2tx)}{\sqrt{x^2-1}} dx = \frac{\pi}{2} J_0(2t) \quad (\text{A.22})$$